

**О.І. Проценко,
О.Д. Манжілевський,
Ю.В. Булига, канд. техн. наук**
Вінницький національний технічний університет

МАТЕМАТИЧНА МОДЕЛЬ ВІБРОУСТАНОВКИ З ГІДРОІМПУЛЬСНИМ ПРИВОДОМ ДЛЯ ОЧИЩЕННЯ ТРУБ ВЕЛИКОГО ДІАМЕТРУ

Рассмотрены динамическая и математическая модели рабочего хода стенда с гидроимпульсным приводом для очистки труб большого диаметра.

The paper considers the dynamic and mathematical model of working steps of stand with hydroimpulse drive for cleaning large diameter pipes.

Вступ

Вібраційні машини складно-просторового віброна-
вантаження з гідроімпульсним приводом можуть застосовуватися при вібропресуванні із порошкових матеріалів, виробів великої маси та складної конфігурації, виробництві складних ливарних форм та віброабразивному очищенні від окалини та іржі труб великого діаметру [2, 3, 7].

Гідроімпульсний привод вібраційних машин складно-просторового навантаження може будуватися за схемами з керуванням виконавчими гідроциліндрами одним або декількома генераторами імпульсів тиску (ГІТ) [1]. До виконавчих гідроциліндрів генератор імпульсів тиску може приєднуватися за схемами «на вході», «на виході» або «комбінована» [5].

Через простоту конструкції у віброустановці було застосовано гідроімпульсний привод з одним ГІТ, підключеним до виконавчих гідроциліндрів за схемою «на виході».

При розробці гідроімпульсного привода вібромашин складного-просторового навантаження треба враховувати вимогу високої жорсткості гідросистеми. Це досягається мінімізацією об'ємів напірних гідроліній за рахунок з'єднання гідроагрегатів стиковим способом і виключення довгих напірних трубопроводів [6, 7].

Результати досліджень

У спрощеному вигляді структурну схему гідроімпульсної вібромашини складно-просторового навантаження показано на рисунку 1.

Виконавча ланка 1 з об'єктом обробки (труба великого діаметра) приводиться до двокоординатного (гвинтового) руху горизонтальним 2 та кутовим 3 гідроциліндрами. Керування ними здійснюється ГІТ 5, який підключено до напірних порожнин гідроциліндрів за схемою «на виході». Виконавча ланка 1 та станина 4 пружно зв'язані між собою. Переміщення робочої ланки у горизонтальному та кутовому напрямках обмежено жорсткими упорами.

У цьому випадку на основі загальної теорії розрахунку гідроімпульсних приводів [1] та загальної структурної

схеми (рисунок 1) вібраційної машини з гідроімпульсним приводом можна скласти повну багатомасову динамічну модель віброустановки.

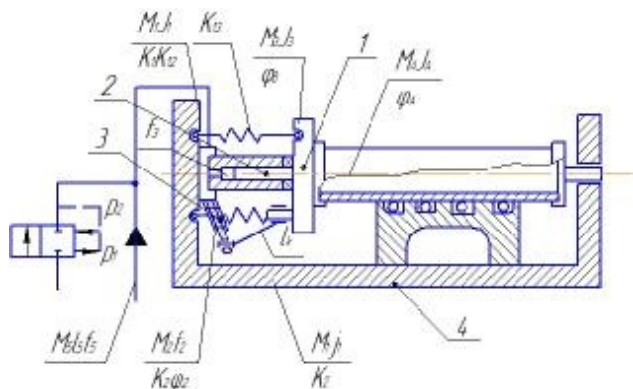


Рисунок 1 — Структурна схема вібромашини.

Дослідженнями багатьох авторів [4] встановлено, що маса станини M_1 з метою зменшення передачі вібраційного впливу на будівельні конструкції повинна бути у 8–10 разів більше максимальної інерційної маси (M_2, M_3). Тому переміщенням маси станини можна зневажувати. З урахуванням вимог високої жорсткості гідросистеми стінки каналів гідроліній можна вважати абсолютно жорсткими, а об'ємний модуль пружності гідросистеми можна прийняти постійним на всіх етапах робочого циклу. Витоки робочої рідини через зазори між елементами, що сполучаються, незначні у порівнянні з подачею гідронасоса і у вихідних рівняннях не враховуються.

Беручи до уваги зроблені зауваження, динамічну модель, яка складена на основі структурної схеми (рисунок 1), можна представити у вигляді схеми, що показано на рисунку 2. Гідравлічну ланку у вигляді безмасової пружини жорсткістю K_s і демпфера в'язкістю C_s , що деформуються з постійною швидкістю $V_0 = Q_H/f_5$ ($Q_H = \text{const}$ — подача гідронасоса, $f_5 = \sum_1^n (l_i \cdot f_i) / \sum_1^n l_i$ — усереднена

площа напірної гідролінії, $l_i f_i$ — довжина та площа попечного перерізу відповідної гідролінії.

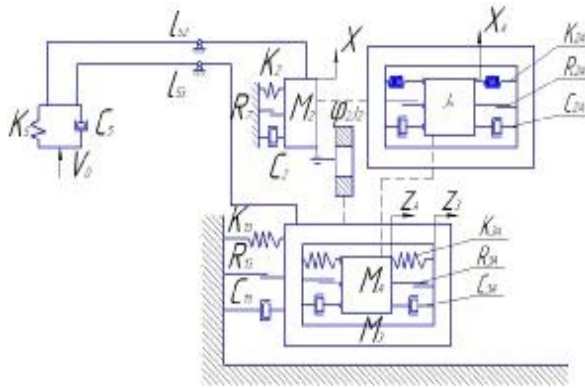


Рисунок 2 — Спрощена динамічна модель вібромашини.

Жорсткість гідросистеми на підставі закону Гука для рідини визначається залежністю

$$K_s = \frac{f_s^2 \cdot \chi}{(W_o + f_3 \cdot z_3 + f_2 \cdot x)}, \quad (1)$$

де χ — зведений об'ємний модуль пружності гідросистеми; W_o — початковий об'єм напірної порожнини гідросистеми; f_2 і f_3 — площини поперечного перерізу виконавчих гідроциліндров; z_3 і x — координати переміщення виконавчої ланки вібромашини у кутовому і горизонтальному напрямках.

Як правило, $W_o \geq f_3 \cdot z_3 + f_2 \cdot x$, тоді

$$K_s \approx f_s^2 \cdot \chi / W_o = \text{const}.$$

Максимальне початкове значення величини деформації рідини в об'ємі гідросистеми отримаємо з рівності, що обумовлює одночасність початку руху плунжерів кутового і лінійного гідроциліндрів,

$$\frac{K_s z_3}{f_3} = \frac{F_2}{f_2} = \frac{F_3}{f_3}, \quad (2)$$

де $F_2 = K_{X_{02}}$, $F_3 = K_{Z_{03}}$ — зусилля стаціонарного опору переміщенням лінійного і кутового гідроциліндрів.

Друга стадія первого етапу робочого циклу характеризується рухом мас M_2 , M_3 , M_a .

Узагальнена система диференціальних рівнянь, що описує другу стадію первого етапу робочого циклу, записується у вигляді

$$\begin{cases} M_2 \ddot{x}_2 = i_{52}^2 K_s (z_5 - x) - i_{52}^2 C_s (\dot{x}_5 - \dot{x}_2) - C_2 \ddot{x}_2 \\ -K_2 (x_{02} + x) - \frac{J_2 \varphi_{OB}}{r_2} - R_{2a} - R_2; \\ M_3 \ddot{x}_3 = i_{53}^2 K_s (z_5 - z_3) - i_{53}^2 C_s (\dot{x}_5 - \dot{x}_3) - C_{13} \dot{x}_3 - \\ -K_{13} (z_{03} + z_3) - R_{3a} - R_{13}; \\ M_a \ddot{x}_a = M_3 \ddot{x}_3 - C_{3a} \dot{x}_a - K_{3a} z_a - R_{3a} \text{sign} \dot{x}_a; \\ J_{ma} \ddot{\varphi}_{OB} = J_{m2} \ddot{\varphi}_{OB} - C_{2a} \dot{\varphi}_{OB} - K_{2a} \varphi_{OB} - R_{2a} \text{sign} \dot{\varphi}_{OB}. \end{cases} \quad (3)$$

Передаточні відношення i_{53} і i_{52} можна розрахувати з умови рівності миттєвого тиску енергоносія, що діє на гіdraulічну ланку і площину поперечного перерізу відповідного елемента:

$$\begin{cases} \frac{K_s \cdot z_5}{f_5} = \frac{i_{53} \cdot K_s \cdot (z_5 - z_3)}{f_3}, \\ \frac{K_s \cdot z_5}{f_5} = \frac{i_{52} \cdot K_s \cdot (z_5 - x)}{f_2}, \end{cases} \quad (4)$$

$$\text{звідки } \begin{cases} i_{53} = \left(\frac{f_3}{f_5} \right) \cdot \left[\frac{z_5}{(z_5 - z_3)} \right]; \\ i_{52} = \left(\frac{f_2}{f_5} \right) \cdot \left[\frac{z_5}{(z_5 - x)} \right], \end{cases}$$

(5)

тут z_5 — деформація гіdraulічної ланки. Добутки $i_{52} K_s = K_{52}$ і $i_{53} K_s = K_{53}$ є коефіцієнт жорсткості гідросистеми, зведеній до відповідної ланки привода вібромашини.

При зведенні гіdraulічної ланки до площин поперечного перерізу виконавчих гідроциліндрів f_2 і f_3 його потенційна енергія перерозподіляється відповідно до рівняння

$$0.5 K_s z_5^2 = 0.5 K_s [i_{53} (z_5 - z_3)^2 + i_{52} (z_5 - x)^2]. \quad (6)$$

Для рівноцінності вібраційного впливу на об'єкт обробки в кутовому і горизонтальному напрямках доцільна рівність

$$0.5 K_s i_{53} (z_5 - z_3)^2 = 0.5 K_s i_{52} (z_5 - x)^2. \quad (7)$$

Звідки

$$\frac{i_{53}}{i_{52}} = \frac{(z_5 - x)^2}{(z_5 - z_3)^2} \quad (8)$$

$$\text{або } i_{23} = \frac{f_3}{f_2} = \frac{(z_5 - x)}{(z_5 - z_3)}, \quad (9)$$

де i_{23} — передаточне відношення, що характеризує співвідношення вібраційного впливу на об'єкт у вертикальному і горизонтальному напрямках.

Як показує аналіз рівняння (6), величина частки потенційної енергії гіdraulічної ланки, що витрачається на керування віброзбуджувача, не перевищує 10% (для потужних машин 0,5–1%). Приймаючи до уваги зроблені зазначення і припущення (7), рівняння (6) можна записати у вигляді системи

$$\begin{cases} 0.45 \cdot 0.5 K_s z_5^2 = 0.5 K_s i_{53} (z_5 - z_3)^2, \\ 0.45 \cdot 0.5 K_s z_5^2 = 0.5 K_s i_{52} (z_5 - x)^2, \end{cases} \quad (10)$$

з урахуванням (5) отримаємо

$$\begin{cases} i_{53} = 0.45 \frac{z_5^2}{(z_5 - z_3)^2} = \frac{1}{0.45} \cdot \left(\frac{f_3}{f_5} \right)^2, \\ i_{52} = 0.45 \frac{z_5^2}{(z_5 - x)^2} = \frac{1}{0.45} \cdot \left(\frac{f_2}{f_5} \right)^2. \end{cases} \quad (11)$$

Щоб отримати однозначне рішення системи (3), до неї необхідно додати рівняння нерозривності потоку

$$Q_H + [W_0 + f_3 \cdot z_3 + f_2 \cdot x] \cdot \chi^{-1} = f_3 \cdot \dot{z}_3 + f_2 \cdot \dot{x} + Q_B, \quad (12)$$

і віднайти

$$\dot{z}_3 = \frac{d \left(\frac{K_5 \cdot z_5}{f_5} \right)}{dt} = f_5 \cdot \chi \cdot \left[\frac{W \cdot \dot{z}_3 - z_5 \cdot (f_3 \cdot \dot{z}_3 + f_2 \cdot \dot{x})}{W^2} \right].$$

де \dot{p} — швидкість зміни тиску в напірній порожнині вібромашини при прямому ході виконавчого гідроциліндра; $W = W_0 + f_1 \cdot z_1 + f_1 \cdot x$ — поточний об'єм; Q_B — витрати рідини, що проходить через відкритий вібровозбуджувач.

Рівняння руху маси M_2 має велике значення, оскільки воно формує закон руху виконавчої ланки. Взаємозв'язок між лінійною координатою x і кутовою j_2 можна порівняти, застосувавши кінематичний аналіз взаємодії ланок кривошипно-шатунного механізму виконавчої ланки.

$$\begin{aligned} \varphi_{OB} &= i_M \left\{ \theta + \frac{\theta}{X \cdot \sin^2 \alpha_{OB} \cdot \cos \gamma} \right\} \times \\ &\times \left\{ \left[\cos^2 \gamma \cos \alpha_{OB} - \cos^2 (\varphi - \varphi_{OB}) \right] \right\}, \end{aligned} \quad (13)$$

З урахуванням усіх необхідних викладок рівняння руху M_2 та рівняння руху абразивної маси у кутовому напрямку матимуть вигляд

$$\begin{aligned} \frac{i_M^2}{l_k^2} \cdot (M_3 \cdot r_2^2 + J_2)^2 \cdot \ddot{x} &= i_{52}^2 K_5 (z_5 - x) - \\ - i_{52}^2 C_5 (\ddot{z}_3 - \ddot{x}) - C_2 \ddot{x} - K_2 (x_{02} + x) - \\ - \frac{J_2 i_M \theta}{r_2^2} - R_{2a} sign \ddot{x} - R_2 sign \ddot{x} \end{aligned} \quad (14)$$

$$\begin{aligned} J_{ma} \cdot i_M \cdot \dot{\theta}_a &= J_{m2} \cdot i_M \cdot \dot{\theta}_a - C_{2a} i_M \dot{\theta}_a - \\ - K_{2a} i_M \theta_a - i_M R_{2a} sign \dot{\theta}_a, \end{aligned} \quad (15)$$

у результаті математична модель робочого ходу приймає вигляд

$$\begin{aligned} \frac{i_M^2}{l_k^2} \cdot (M_3 \cdot r_2^2 + J_2)^2 \cdot \ddot{x} &= i_{52}^2 K_5 (z_5 - x) - \\ - i_{52}^2 C_5 (\ddot{z}_3 - \ddot{x}) - C_2 \ddot{x} - K_2 (x_{02} + x) - \frac{J_2 i_M \theta}{r_2^2} - \\ - R_{2a} sign \ddot{x} - R_2 sign \ddot{x} \\ M_3 \ddot{z}_3 &= i_{53}^2 K_5 (z_5 - z_3) - i_{53}^2 C_5 (\ddot{z}_3 - \ddot{x}) - C_{13} \ddot{x} - \\ - K_{13} (z_{03} + z_3) - R_{3a} sign \ddot{x} - R_{13} sign \ddot{x}, \\ M_a \ddot{\theta}_a &= M_3 \ddot{z}_3 - C_{3a} \ddot{x} - K_{3a} z_a - R_{3a} sign \ddot{x}, \\ J_{ma} \dot{\theta}_a &= J_{m2} \cdot \dot{\theta}_a - C_{2a} \theta_a - K_{2a} \theta_a - R_{2a} sign \dot{\theta}_a. \end{aligned} \quad (16)$$

Наприкінці етапу тиск у гідросистемі зростає до величини p_1 (тиск відкриття запірного елемента основного каскаду віброзбуджувача)

$$p_1 = \frac{K_5 \cdot z_{5max}}{f_5}, \quad (17)$$

де z_{5max} — максимальна деформація рідини, що відповідає закінченню етапу. З виразу (17) отримаємо

$$z_{5max} = \frac{p_1 \cdot f_5}{K_5}.$$

Взаємозв'язок між пружністю абразиву в лінійному і кутовому напрямках можна з наближенням прийняти у вигляді

$$K_{2a} \cdot \varphi_{OB} = K_{3a} \cdot z_a \cdot \mu_a, \quad (18)$$

$$\text{з урахуванням } \varphi_{OB} = \frac{i_m \cdot x}{l_k}.$$

$$K_{2a} = \frac{K_{3a} \cdot z_a \cdot \mu_a \cdot l_k}{i_m \cdot x}. \quad (19)$$

Зворотний хід робочої ланки та запірного елемента віброзбуджувача вібромашини при припущені, що рух цих елементів починається одночасно з крайнього положення, описується аналогічно (3) системою диференціальних рівнянь, в якій деформація гіdraulічної ланки змінюється від z_{5max} (деформація гіdraulічної ланки у кінці прямого ходу ланки вібромашини) до величини, відповідної зливному тиску в гідросистемі. Потім починається новий цикл руху робочої ланки.

Висновки

Сукупність систем диференціальних рівнянь руху виконавчих ланок віброустановки і ГІТ при прямому та зворотному ходах є математичною моделлю гідроімпульсного привода віброустановки з зворотно-гвинтовим рухом робочої ланки. Інженерну методику проектного розрахунку цього привода розроблено на основі дослідження чисельними методами на ЕОМ його математичної моделі. Адекватність математичної моделі реальній ді-

намічній системі перевірено експериментальними дослідженнями вібромашин такого типу.

При порівнянні теоретичних та експериментальних значень кінематичних параметрів руху виконавчої ланки віброустановки визначено розходження по амплітуді лінійного та кутового переміщення, відповідно, 7–9% і 8–10%. Отримані результати відповідають вимогам проектних розрахунків і дозволяють вважати прийнятую систему пристрою правомірною, а математичну модель робочого ходу адекватною реальній системі [6, 7].

Література

1. Ісковіч-Лотоцький, Р.Д. Основи теорії гіdraulічних інерційних вібропресмолов (структурна схема та динамічна модель) // Промислова гіdraulіка та пневматика. — 2004. — №1(3). — С. 78–82

2. Ісковіч-Лотоцький, Р.Д. Гидровибрационные машины обработки давлением (состояние и перспективы развития) / Р.Д. Ісковіч-Лотоцький, Р.Р. Обертюх, А.А. Гуменчук // Вестн. машиностроения. — 1993. — №12. — С. 8–12.

3. Ісковіч-Лотоцький, Р.Д. До питання синтезу схем гідроімпульсних вібромашин з декількома робочими ланками / Р.Д. Ісковіч-Лотоцький, Р.Р. Обертюх // Вісник Вінницького політехнічного інституту. — 1994. — №1(2). — С. 82—88.

4. Ісковіч-Лотоцький, Р.Д. Машины вибрационного и виброударного действия / Р.Д. Ісковіч-Лотоцький, И.Б. Матвеев, В.А. Крат. — К.: Техніка, 1982. — 576 с.

5. Ісковіч-Лотоцький, Р.Д. Гидравлические вибровозбудители на базе стандартной контрольно-распределительной аппаратуры / Р.Д. Ісковіч-Лотоцький, Р.Р. Обертюх, Б.Н. Пентюк // Вестник машиностроения. — 1984. — №8. — С. 17—20.

6. Обертюх, Р.Р. Разработка методики проектного расчета и создание новой конструкции вибропресса для прессования металлопорошковых заготовок в капсулах при возвратно-винтовом движении вибростола: Дис. кандидата техн. наук: 05.03.05 / Обертюх Роман Романович. — М.; 1989. — 313 с.

7. Булыга, Ю.В. Разработка и исследование гидроимпульсного привода установки для вибробразивной очистки крупногабаритных деталей: дис. кандидата техн. наук: 05.02.03 / Булыга Юрий Владимирович. — Винница, 1994. — 210 с.

Надійшла 13.07.2011 р.